



УДК: 615.83:615.89

МАКАЦ Є.Ф.

## БІОФІЗИЧНА РЕАЛЬНІСТЬ МАТРИЧНОГО ПРОГНОЗУ ЗА ПРАВИЛАМИ “П’ЯТИ ЕЛЕМЕНТІВ” І “МАТИ-СИН (ПО ВЕЛИКОМУ КОЛУ)”

(ІНФОРМАЦІЯ 2)

Доктор філософії, доцент (Вінницький національний медичний університет ім. М. І. Пирогова, Україна)

*Наводимо розроблену Модель і звертаємо увагу що її графологічна структура біофізично ідентифікує всю системну взаємозалежність. При цьому вона переводить традиційну Голкотерапію в статус доказової медицини і обумовлює її наукове значення в терапевтичній і реабілітаційній практиці...*

**Ключові слова:** Чжень-цзю терапія, акупунктурні канали, функціональна вегетологія.

*Here, we introduce the developed Model and draw your attention to the fact that its graphological structure biophysically identifies the entire systemic interdependency. At the same time, it transforms traditional Acupuncture therapy into the status of evidence-based medicine and conditions its scientific value in therapeutic and rehabilitation practice ...*

**Key words:** Zhenjia therapy, acupuncture channels, functional vegetology.

*Наводим разработанную Модель и обращаем внимание что ее графологическая структура биофизический идентифицирует всю системную взаимозависимость. При этом она переводит традиционную Иглотерапию в статус доказательной медицины и обуславливает ее научное значение в терапевтической и реабилитационной практике.*

**Ключевые слова:** Чжень-цзю терапия, акупунктурные каналы, функциональная вегетология.

### Вступ

Однією з проблем Голкотерапії є необхідність вірогідного прогнозу наслідків терапевтичних та реабілітаційних алгоритмів на основі Матричної експертизи системної залежності. При цьому необхідно доказово вирішити наступні питання:

– чи можна на основі графологічної структури Матриці передбачити майбутню динаміку системної залежності [всупереч традиційним правилам П’ЯТИ ЕЛЕМЕНТІВ (ЦИКЛУ ЗІРКА) та МАТИ-СИН по Великому колу]?

– встановити ступінь вірогідності Матричної “ідентифікації системної залежності”?

– доказати співвідносність Матричної ідентифікації системної залежності з її біофізичною реальністю?

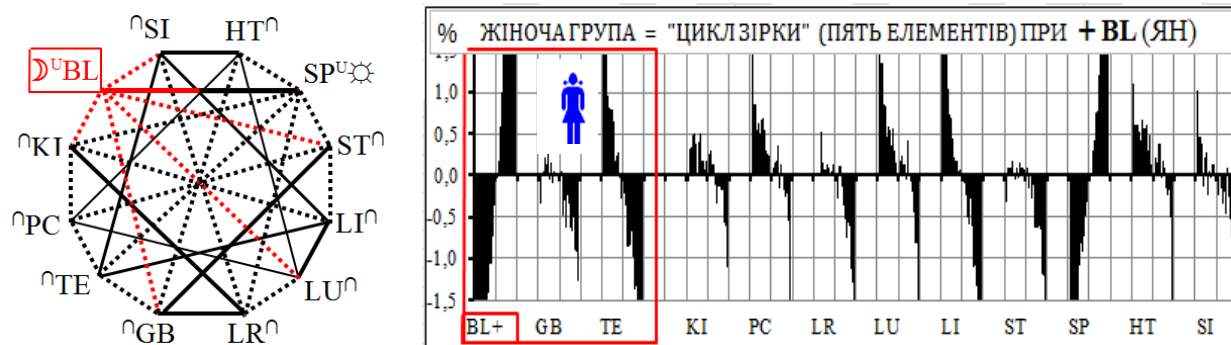
В якості доказової бази ми обрали Матричний аналіз виявлених практичних помилок традиційної акупунктури. Вони не пройшли попередню біофізичну експертизу і уже відомі нашим можливим опонентам...

Маючи на увазі відсутність суттєвих статевікових особливостей, розглянемо проблемні питання на прикладах жіночої групи. При цьому нагадаємо, що суцільними лініями Матриці визначені напрямки синхронної системної залежності, а пунктирними – асинхронної.

### 1. БІОФІЗИЧНА РЕАЛЬНІСТЬ МАТРИЧНОГО ПРОГНОЗУ ЗА ПРАВИЛАМИ “П’ЯТИ ЕЛЕМЕНТІВ (ЦИКЛ ЗІРКИ)”

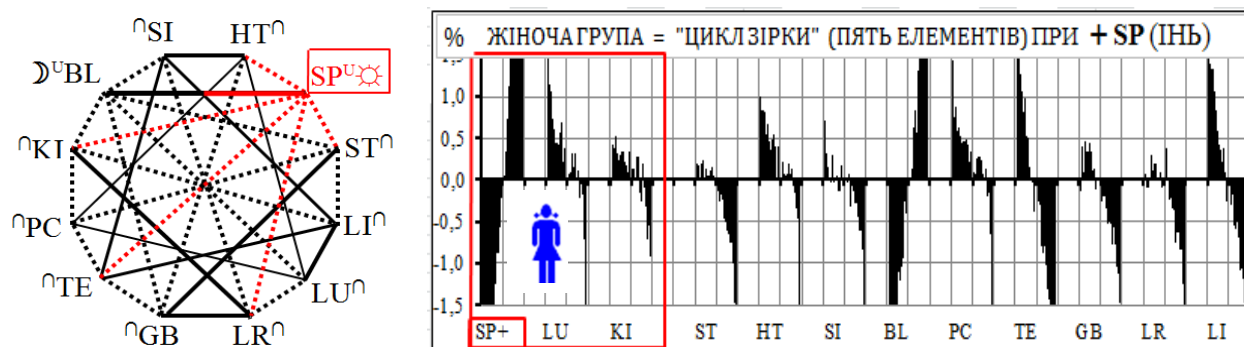
Матрична експертиза теоретичних положень Циклу ЗІРКА свідчить про повну відповідність біофізичної реальності з графологічною структурою Матриці. Розглянемо проблему на окремих прикладах.

Зростання активності **BL** веде до пригнічення акупунктурних каналів GB–TE (мал.1.1). В даному випадку Матричні зв’язки указують шляхи біофізичної трансформації каналів. Для “–GB” (+BL= –GB), для “–TE” (+BL= +SP –TE). Указаним шляхом можна передбачити активність любого з наведених каналів...



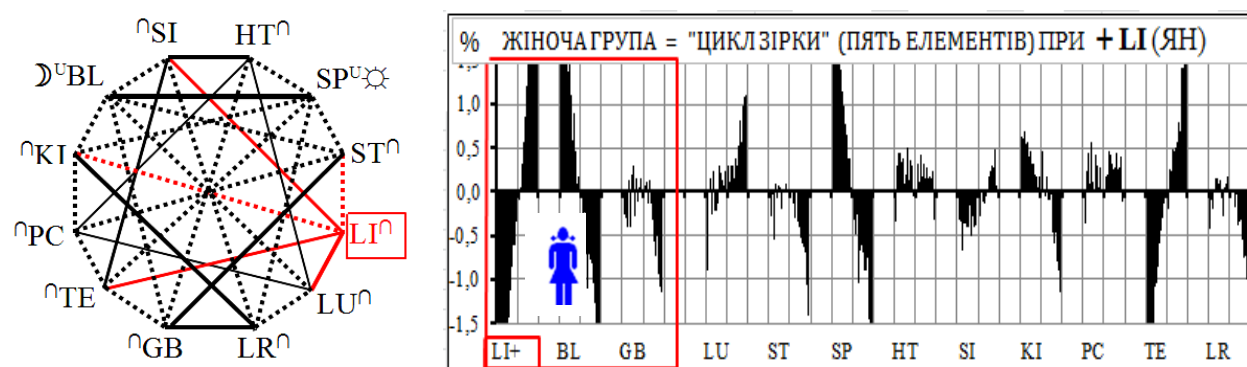
Мал.1.1 Матрична ідентифікація системної залежності (Цикл ЗІРКА) при **+BL**

Зростання активності **SP** веде до пригнічення акупунктурних каналів LU–KI (мал.1.2). В даному випадку Матричні зв'язки указують шляхи біофізичної трансформації каналів. Для “–LU” (+SP=+BL–LU), для “–KI” (+SP= –KI). Указаним шляхом можна передбачити активність любого з наведених каналів...



Мал. 1.2 Матрична ідентифікація системної залежності (Цикл ЗІРКА) при **+SP**

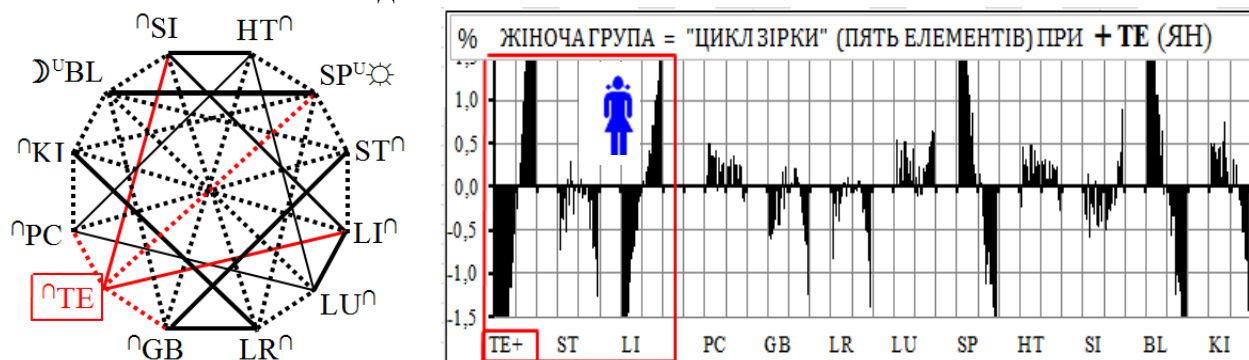
Зростання активності **LI** веде до пригнічення акупунктурних каналів BL–GB (мал.1.3). В даному випадку Матричні зв'язки указують шляхи біофізичної трансформації каналів. Для “–BL” (+LI= +LU–BL), для “–GB” (+LU= +TE ∩–GB). Указаним шляхом можна передбачити активність любого з наведених каналів...



Мал. 1.3 Матрична ідентифікація системної залежності (Цикл ЗІРКА) при **+LI**

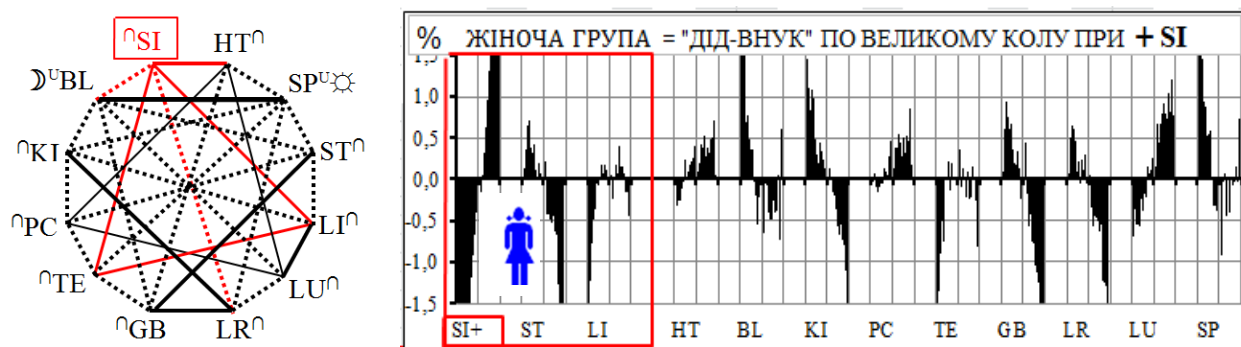
Зростання активності **TE** веде до ∩–ST і +LI (мал.1.4). В даному випадку Матричні зв'язки указують шляхи біофізичної трансформації каналів. Для “∩–ST”

(+TE=  $\cap$  -ST +LI), для "+LI" (+TE= +LI). Указаним шляхом можна передбачити активність любого з наведених каналів...



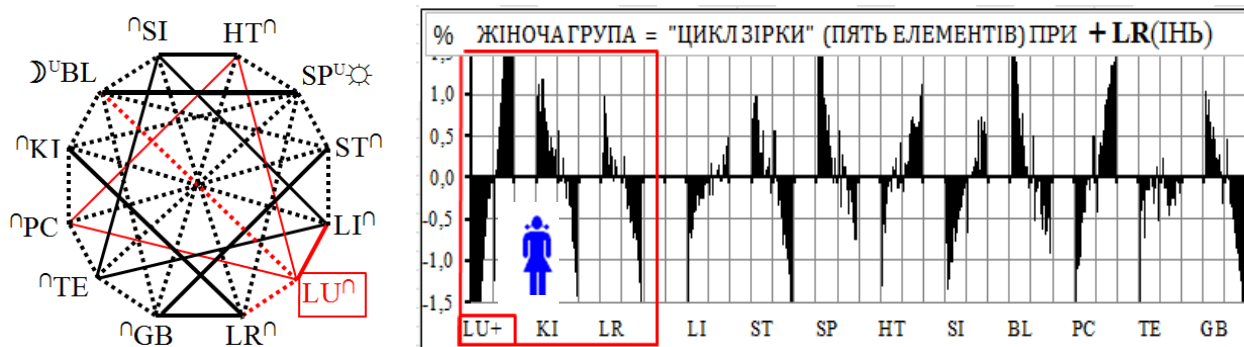
Мал. 1.4 Матрична ідентифікація системної залежності (Цикл ЗІРКА) при +TE

Зростання активності SI веде до -ST і +LI (мал.1.5). В даному випадку Матричні зв'язки указують шляхи біофізичної трансформації каналів. Для "-ST" (+SI= +LI  $\cap$  -ST), для "+LI" (+SI= +LI). Указаним шляхом можна передбачити активність любого з наведених каналів...



Мал. 1.5 Матрична ідентифікація системної залежності (Цикл ЗІРКА) при +SI

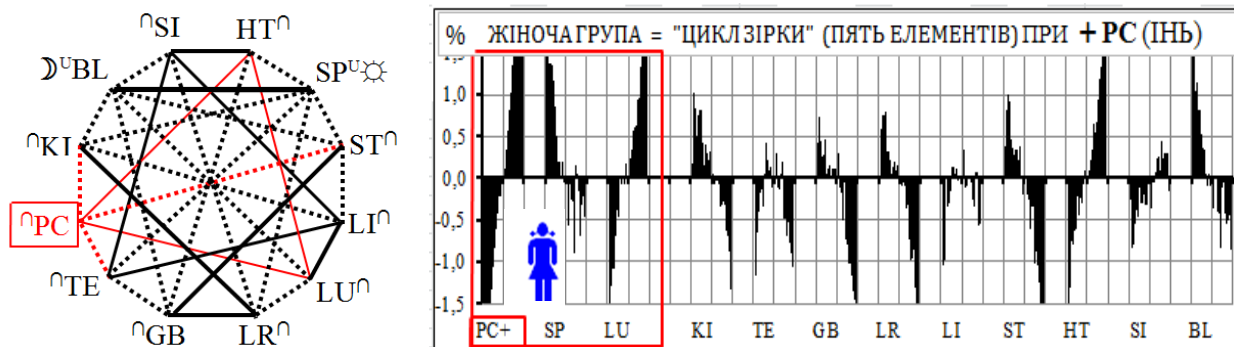
Зростання активності LU веде до пригнічення акупунктурних каналів KI-LR (мал.1.6). В даному випадку Матричні зв'язки указують шляхи біофізичної трансформації каналів. Для "-KI" (+LU=+PC-KI), для "-LR" (+LU= -LR). Указаним шляхом можна передбачити активність любого з наведених каналів...



Мал. 1.6 Матрична ідентифікація системної залежності (Цикл ЗІРКА) при +LU

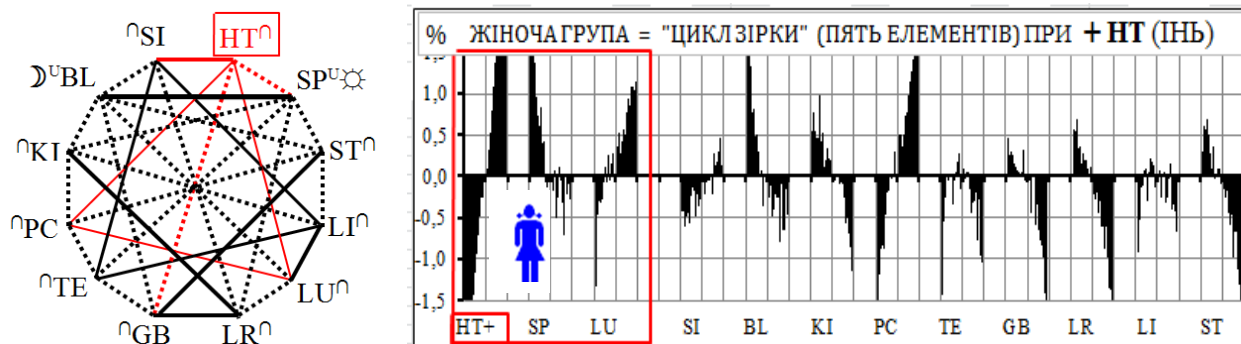
Зростання активності PC веде до -SP і +LU (мал.1.7). В даному випадку Матричні зв'язки указують шляхи біофізичної трансформації каналів. Для "-SP" (+PC= +HT-

SP), для "+LU" (+PC= +LU). Указаним шляхом можна передбачити активність лю-бого з наведених каналів...



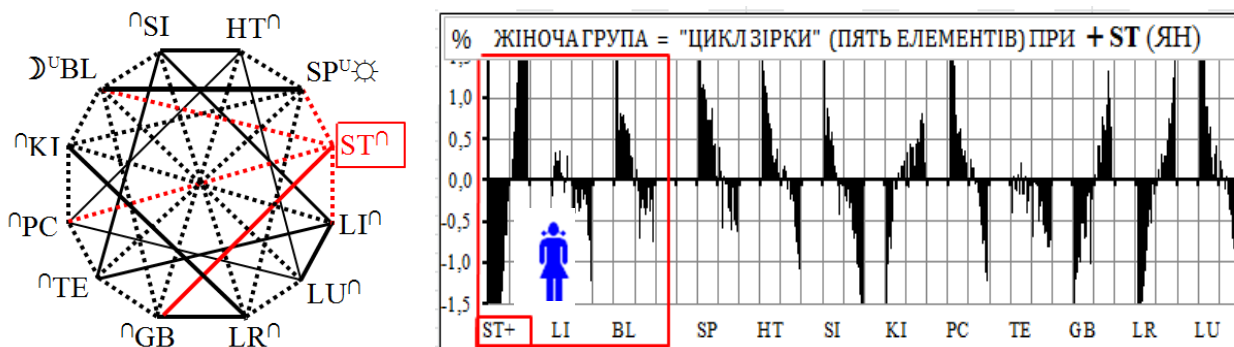
Мал. 1.7 Матрична ідентифікація системної залежності (Цикл ЗІРКА) при +PC

Зростання активності HT веде до U -SP і +LU (мал.1.8). В даному випадку Матричні зв'язки указують шляхи біофізичної трансформації каналів. Для "U-SP" (+HT= -SP), для "+LU" (+HT= +LU). Указаним шляхом можна передбачити активність лю-бого з наведених каналів...



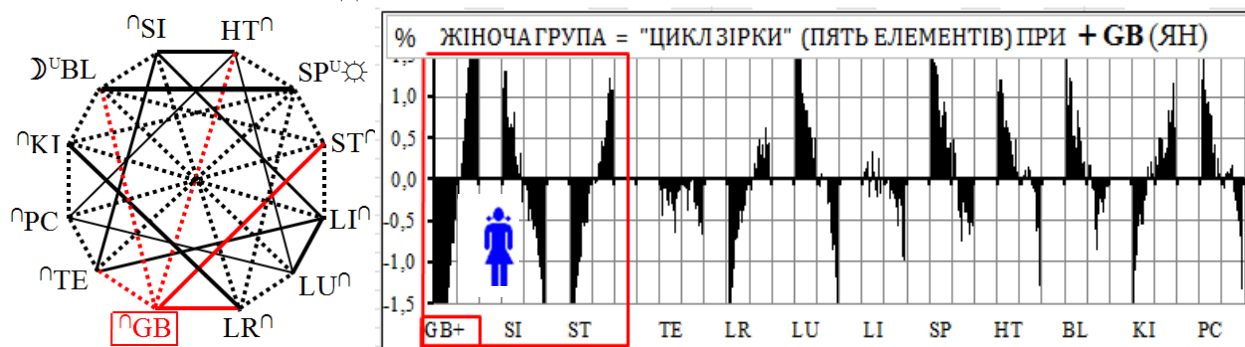
Мал. 1.8 Матрична ідентифікація системної залежності (Цикл ЗІРКА) при +HT

Зростання активності ST веде до пригнічення акупунктурних каналів LI-BL (мал.17.1.9). В даному випадку Матричні зв'язки указують шляхи біофізичної тра-нсформації каналів. Для "-LI" (+ ST=-LI), для "-BL" (+ST=-BL). Указаним шля-хом можна передбачити активність лю-бого з наведених каналів...



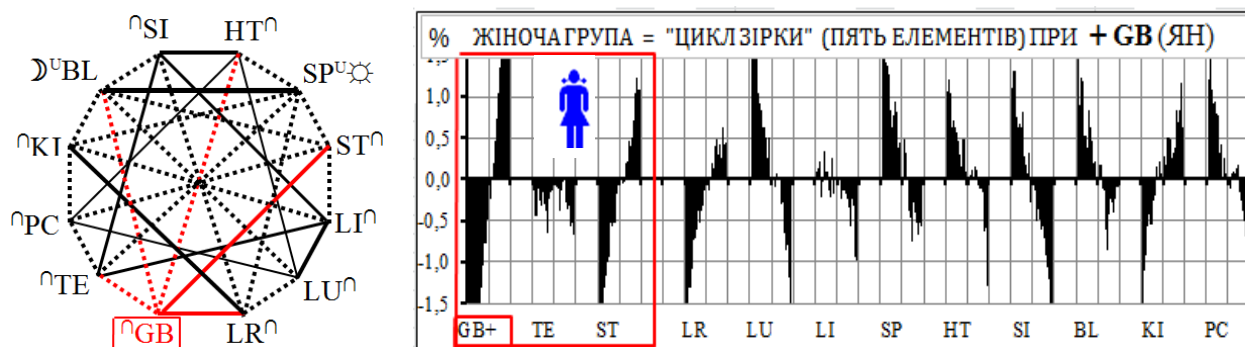
Мал. 1.9 Матрична ідентифікація системної залежності (Цикл ЗІРКА) при +ST

Зростання активності **GB** веде до  $-SI$  і  $+ST$  (мал.1.10). В даному випадку Матричні зв'язки указують шляхи біофізичної трансформації каналів. Для " $-SI$ " ( $+GB=+LR-SI$ ), для " $+ST$ " ( $+GB=+ST$ ). Указаним шляхом можна передбачити активність любого з наведених каналів...



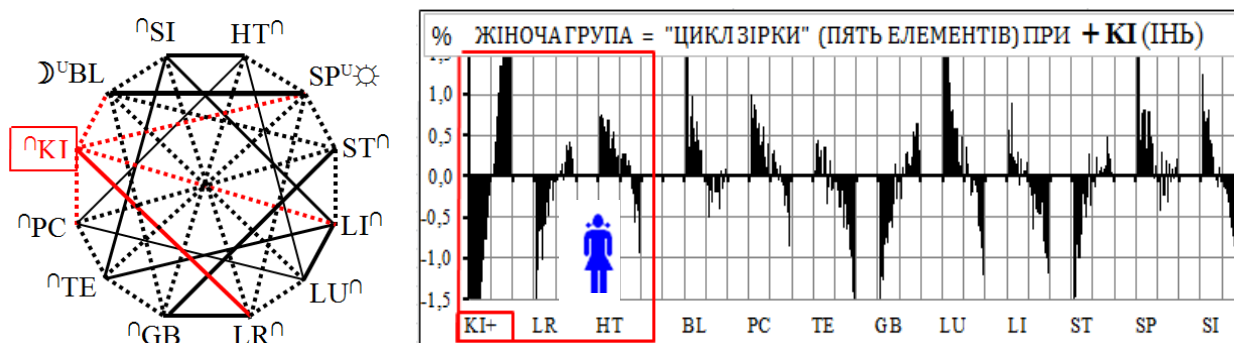
Мал.1.10 Матрична ідентифікація системної залежності (Цикл ЗІРКА) при **+GB**

Зростання активності **GB** веде до  $\cap -TE$  і  $+ST$  (мал.1.11). В даному випадку Матричні зв'язки указують шляхи біофізичної трансформації каналів. Для " $\cap -TE$ " ( $+GB=\cap -TE$ ), для " $+ST$ " ( $+GB=+ST$ ). Указаним шляхом можна передбачити активність любого з наведених каналів...



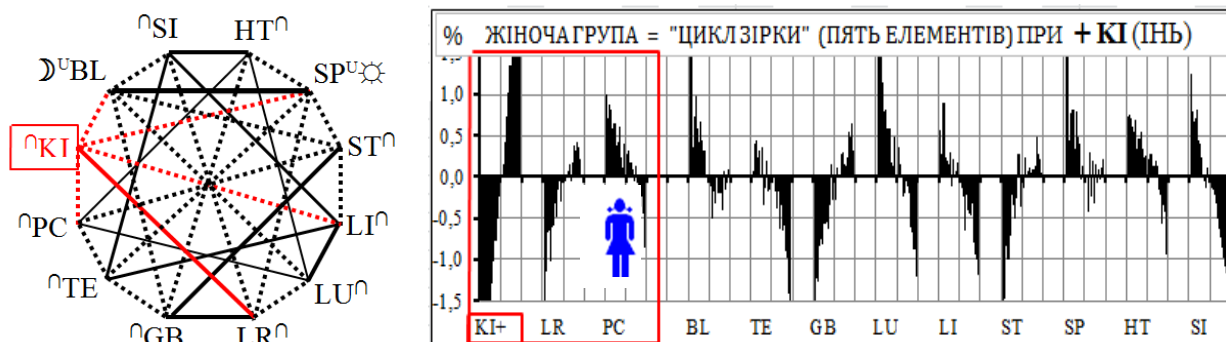
Мал.1.11 Матрична ідентифікація системної залежності (Цикл ЗІРКА) при **+GB**

Зростання активності **KI** веде до  $+LR$  і  $-HT$  (мал.1.12). В даному випадку Матричні зв'язки указують шляхи біофізичної трансформації каналів. Для " $+LR$ " ( $+KI=+LR$ ), для " $-HT$ " ( $+KI=-PC-HT$ ). Указаним шляхом можна передбачити активність любого з наведених каналів...



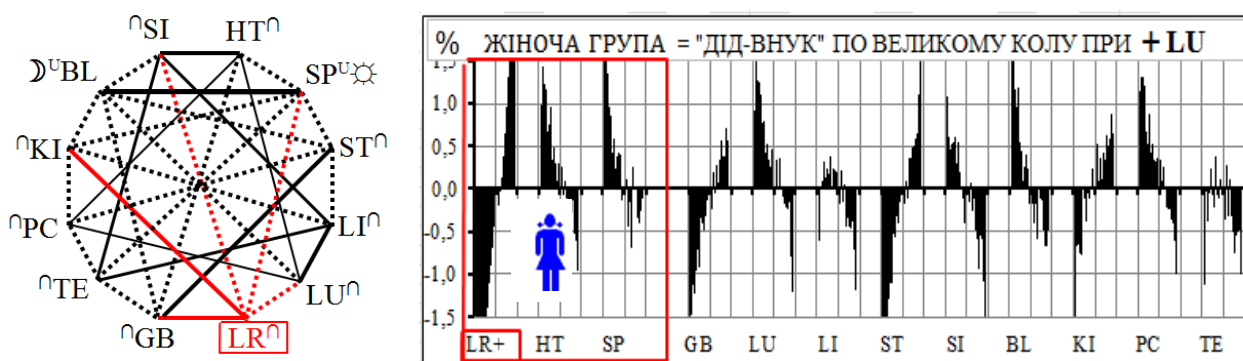
Мал. 1.12 Матрична ідентифікація системної залежності (Цикл ЗІРКА) при **+KI**

Зростання активності **KI** веде до **+LR** і **-PC** (мал.1.13). В даному випадку Матричні зв'язки указують шляхи біофізичної трансформації каналів. Для **"+LR"** (**+KI=+LR**), для **"-PC"** (**+KI=-PC**). Указаним шляхом можна передбачити активність любого з наведених каналів...



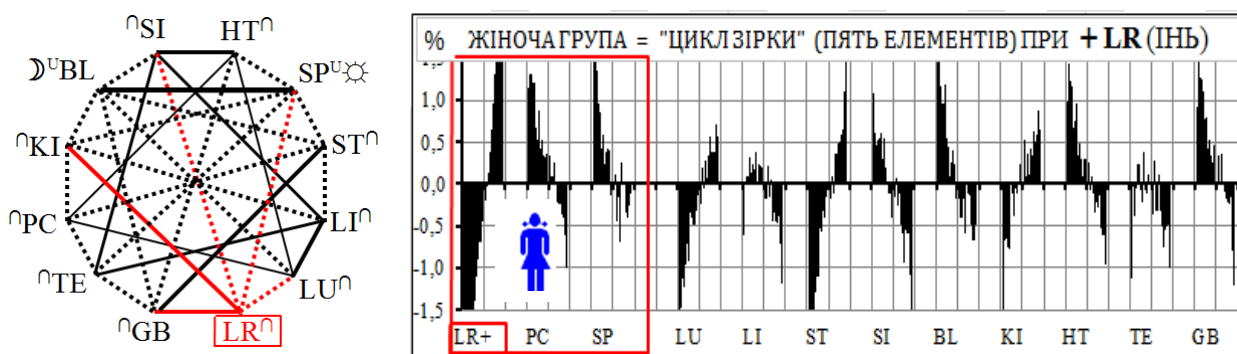
Мал. 1.13 Матрична ідентифікація системної залежності (Цикл ЗІРКА) при **+ KI**

Зростання активності **LR** веде до пригнічення акупунктурних каналів **HT-SP** (мал.1.14). В даному випадку Матричні зв'язки указують шляхи біофізичної трансформації каналів. Для **"-HT"** (**+LR=+GB-HT**), для **"-SP"** (**+LR=-SP**). Указаним шляхом можна передбачити активність любого з каналів...



Мал.14 Матрична ідентифікація системної залежності (Цикл ЗІРКА) при **+ LR**

Зростання активності **LR** веде до пригнічення акупунктурних каналів **PC-SP** (мал.1.15). В даному випадку Матричні зв'язки указують шляхи біофізичної трансформації каналів. Для **"-PC"** (**+LR=-LU-PC**), для **"-SP"** (**+LR=-SP**). Указаним шляхом можна передбачити активність любого з каналів...



Мал.1.15 Матрична ідентифікація системної залежності (Цикл ЗІРКА) при **+ LR**

**Висновки.**

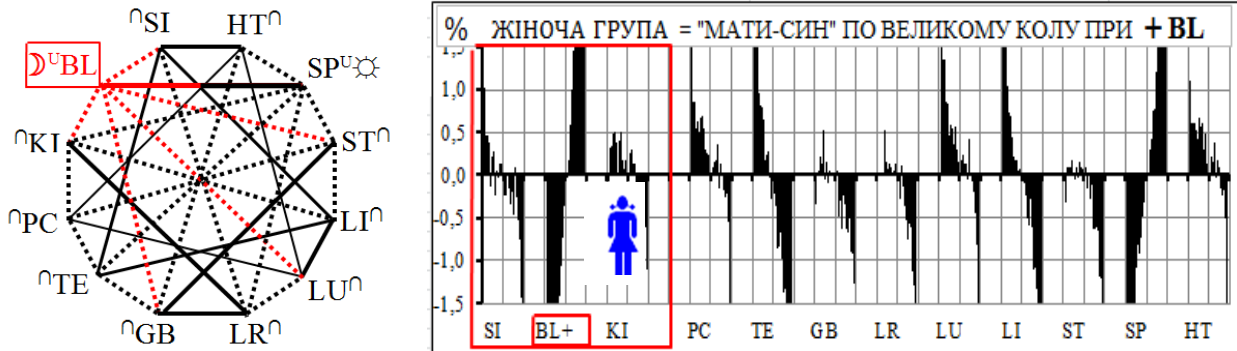
1. Матрична експертиза системної біофізичної залежності за правилами циклу “ЗІРКА” підтверджує експериментальні дані і структурну логічність “Вегетативної матриці Макаца”.

2. Звертає на себе увагу функціональна універсальність Матриці.

**2 – БІОФІЗИЧНА РЕАЛЬНОСТЬ МАТРИЧНОГО ПРОГНОЗУ ЗА ПРАВИЛОМ “МАТИ-СИН (ПО ВЕЛИКОМУ КОЛУ)”**

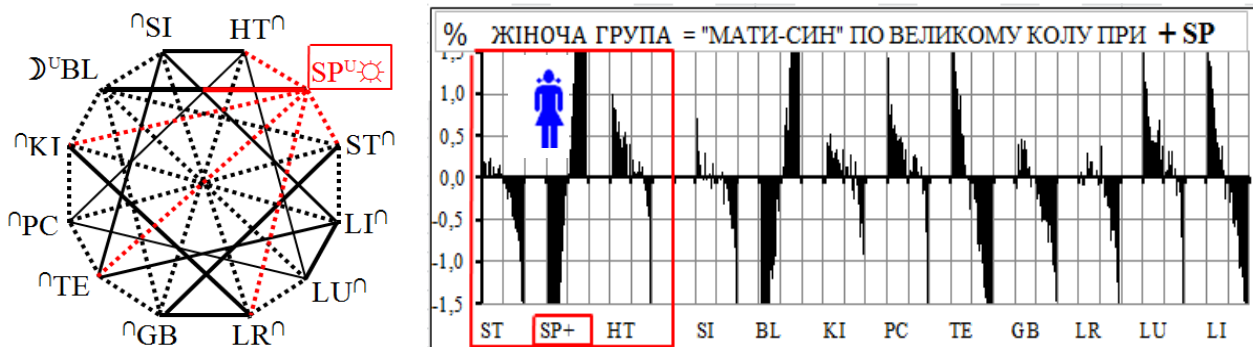
Матрична експертиза теоретичних положень за правилом МАТИ-СИН (по Великому колу) свідчить про повну відповідність біофізичної реальності з графологічною структурою Матриці. Розглянемо проблему на окремих прикладах.

Зростання активності **BL** веде до  $-SI$  і  $-KI$  (мал.2.1). В даному випадку Матричні зв'язки указують шляхи біофізичної трансформації каналів. Для “ $-SI$ ” ( $+BL=SI$ ), для “ $-KI$ ” ( $+BL=-KI$ ). Указаним шляхом можна передбачити активність любого з наведених каналів...



Мал.2.1 Матрична ідентифікація системної залежності (МАТИ-СИН) при **+ BL**

Зростання активності **SP** веде до  $-ST$  і  $-HT$  (мал.2.2). В даному випадку Матричні зв'язки указують шляхи біофізичної трансформації каналів. Для “ $-ST$ ” ( $+SP=-ST$ ), для “ $-HT$ ” ( $+SP=-HT$ ). Указаним шляхом можна передбачити активність любого з каналів...

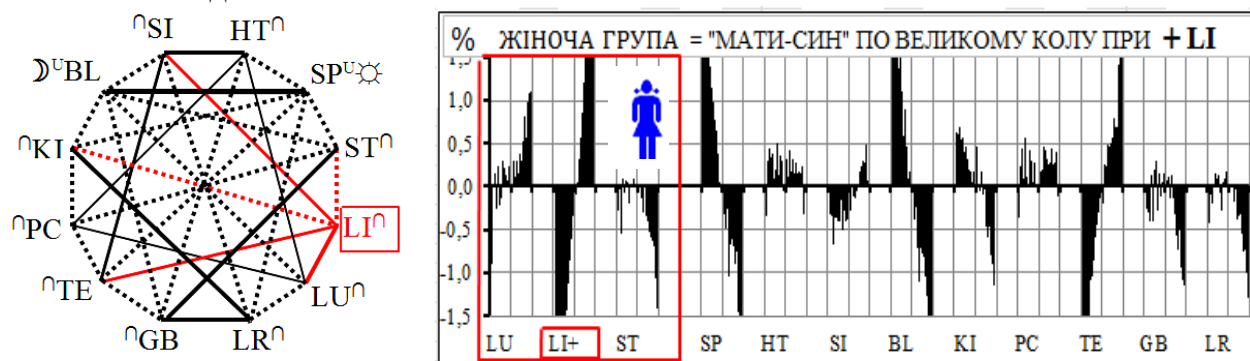


Мал.2.2 Матрична ідентифікація системної залежності (МАТИ-СИН) при **+ SP**

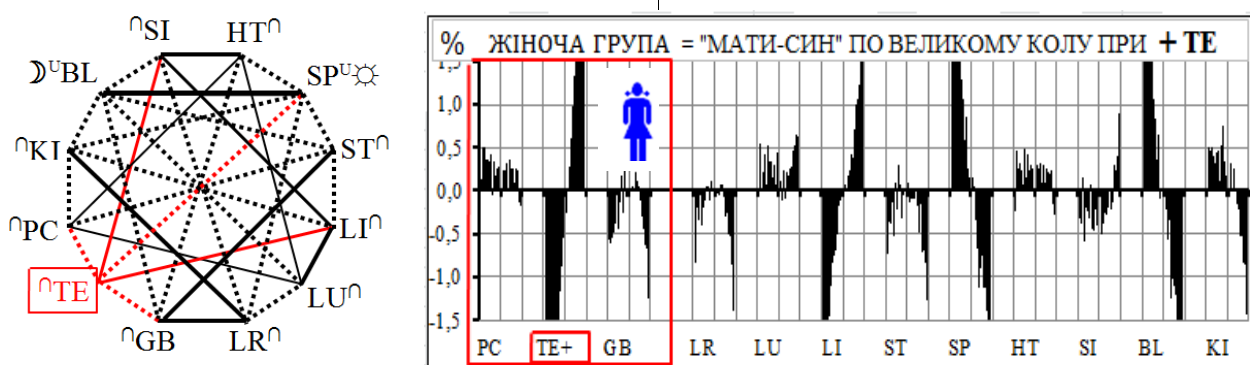
Зростання активності **LI** веде до  $+LU$  і  $-ST$  (мал.2.3). В даному випадку Матричні зв'язки указують шляхи біофізичної трансформації каналів. Для “ $+LU$ ”

(+LI= +LU), для "∩-ST" ST (+LI= -ST). "∩-ST" ST (+LI= -ST). Указаним шляхом можна передбачити активність любого з наведених каналів...

Зростання активності **TE** веде до -PC і ∩-GB (мал.2.4). В даному випадку Матричні зв'язки указують шляхи біофізичної трансформації каналів. Для "-PC" (+TE= -PC), для "∩-GB" (+TE= ∩ GB). Указаним шляхом можна передбачити активність любого з наведених каналів...

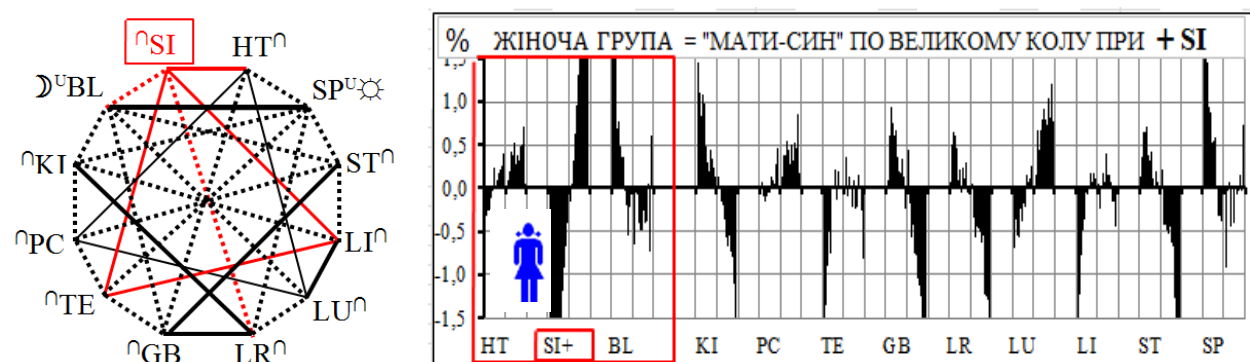


Мал.2.3 Матрична ідентифікація системної залежності (МАТИ-СИН) при + LI



Мал.2.4 Матрична ідентифікація системної залежності (МАТИ-СИН) при + TE

Зростання активності **SI** веде до +HT і ∩-BL (мал.2.5). В даному випадку Матричні зв'язки указують шляхи біофізичної трансформації каналів. Для "+HT" (+SI= +HT), для "∩-BL" (+SI= -BL). Указаним шляхом можна передбачити активність любого з каналів...



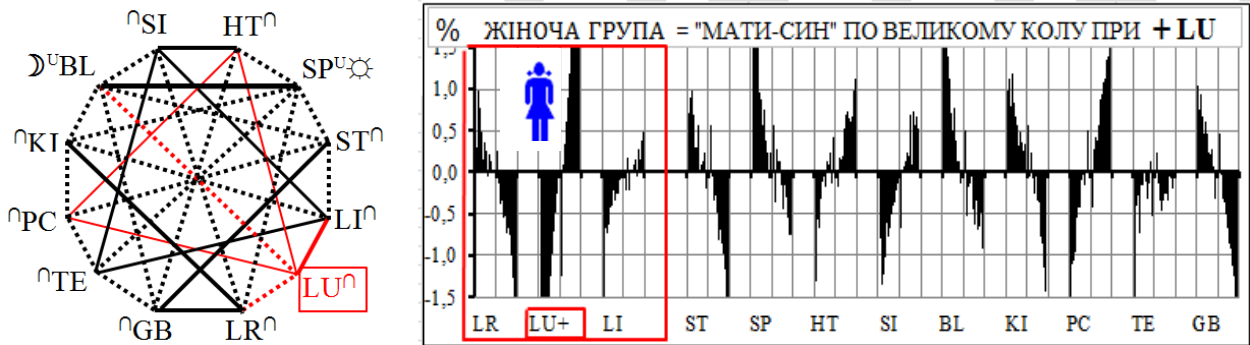
Мал.2.5 Матрична ідентифікація системної залежності (МАТИ-СИН) при + SI

Зростання активності **LU** веде до -LR і +LI (мал.2.6). В даному випадку Матричні зв'язки указують шляхи біофізичної трансформації каналів. Для

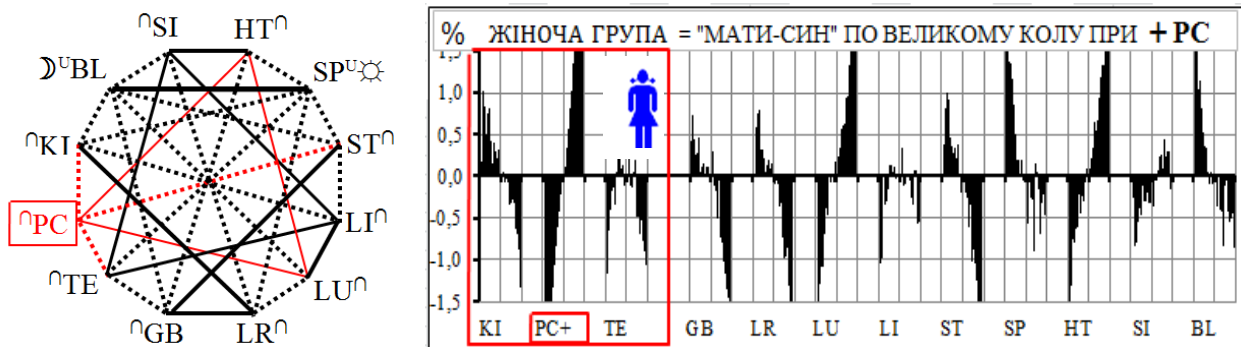


“-LR” (+LU= -LR), для ”+LI” (+LU= +LI). Указаним шляхом можна передбачити активність любого з наведених каналів...

Зростання активності **PC** веде до -KI і  $\cap$ -TE (мал.2.7). В даному випадку Матричні зв'язки указують шляхи біофізичної трансформації каналів. Для “-KI” (+PC=-KI), для ” $\cap$ -TE ” (+PC= $\cap$  TE). Указаним шляхом можна передбачити активність любого з каналів...

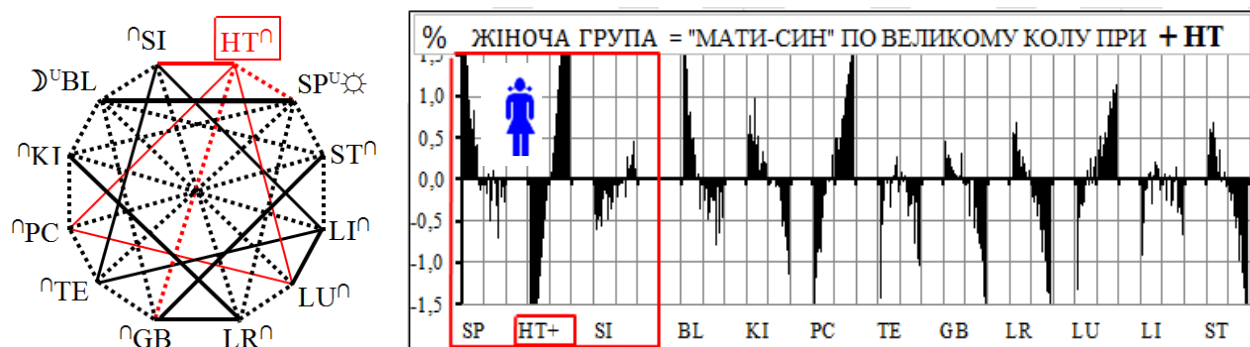


Мал.2.6 Ідентифікації системної залежності за правилом “МАТИ-СИН” при + LU



Мал.2.7 Матрична ідентифікація системної залежності (МАТИ-СИН) при + PC

Зростання активності **HT** веде до  $\cup$ -SP і +SI (мал.2.8). В даному випадку Матричні зв'язки указують шляхи біофізичної трансформації каналів. Для “ $\cup$ -SP” (+HT=  $\cup$ -SP), для ”+SI” (+HT= +SI).. Указаним шляхом можна передбачити активність любого з наведених каналів...

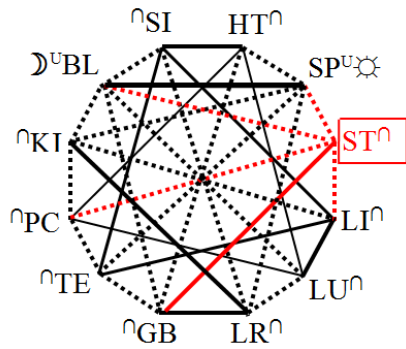


Мал.17.2.8 Матрична ідентифікація системної залежності (МАТИ-СИН) при + HT

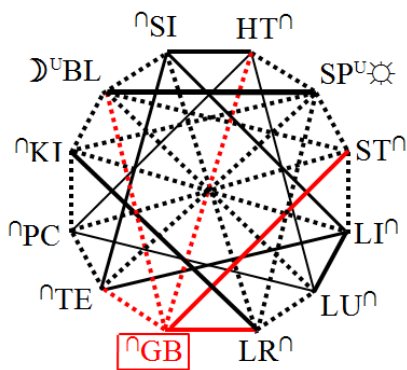
Зростання активності **ST** веде до -LI і -SP (мал.2.9). В даному випадку Матричні зв'язки указують шляхи біофізичної трансформації каналів. Для “-LI” (+ST= -

LI), для "–SP" (+ST= –SP). Указаним шляхом можна передбачити активність любого каналу...

Зростання активності GB веде до  $\cap +TE$  і  $+LR$  (мал.17.2.10). В даному випадку Матричні зв'язки указують шляхи біофізичної трансформації каналів. Для " $\cap +TE$ " (+GB= $\cap +TE$ ), для "+LR" (+GB= +LR). Указаним шляхом можна передбачити активність любого з наведених каналів...

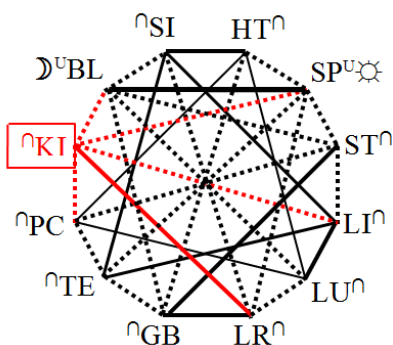


Мал.2.9 Матрична ідентифікація системної залежності (МАТИ-СИН) при + ST



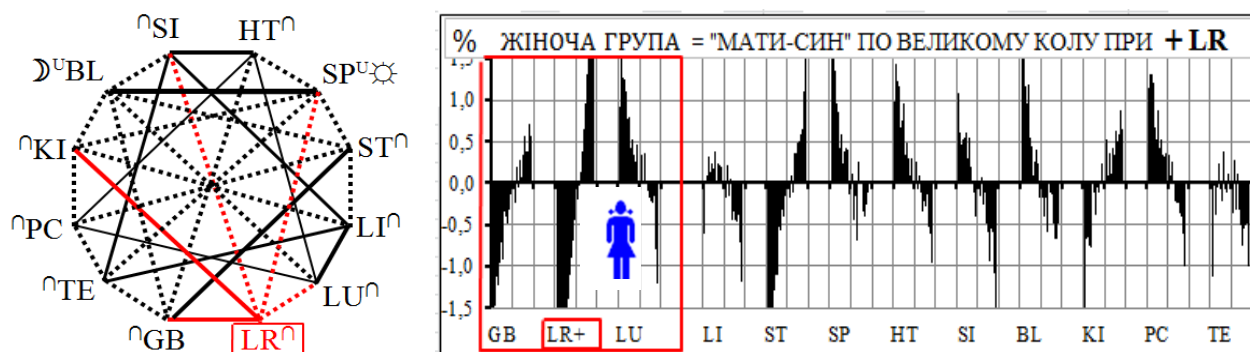
Мал.2.10 Матрична ідентифікація системної залежності (МАТИ-СИН) при +GB

Зростання активності KI веде до  $\cup -BL$  і  $-PC$  (мал.2.11). В даному випадку Матричні зв'язки указують шляхи біофізичної трансформації каналів. Для " $\cup -BL$ " (+KI=  $\cup -BL$ ), для "–PC" (+KI= –PC). Указаним шляхом можна передбачити активність любого з наведених каналів...



Мал.2.11 Матрична ідентифікація системної залежності (МАТИ-СИН) при + KI

Зростання активності **LR** веде до **+GB** і **-LU** (мал.2.12). В даному випадку Матричні зв'язки указують шляхи біофізичної трансформації каналів. Для **"+GB"** (**+LR= +GB**), для **"-LU"** (**+LR= +SP-LU**). Указаним шляхом можна передбачити активність любого з наведених каналів...



Мал.17.2.12 Матрична ідентифікація системної залежності (МАТИ-СИН) при **+LR**

### Загальні висновки.

1. Матрична експертиза системної біофізичної залежності за правилами циклу **"ЗІРКА"** підтверджує експериментальні дані і структурну логічність **"Вегетативної матриці Макаца"**.

2. Матрична експертиза системної біофізичної залежності за правилом **"МАТИ-СИН (ПО ВЕЛИКОМУ КОЛУ)"** підтверджує експериментальні дані і структурну логічність **"Вегетативної матриці Макаца"**.

3. Звертає на себе увагу функціональна універсальність Матриці.

### Список використаної літератури

1. Макац В.Г., Макац Д.В., Макац Е.Ф., Макац Дм.В. Лекция-3 Традиционные гипотетические основы китайской Чжень-цзю терапии // Медиздат, РФ, Рефлексотерапевт- № 6/2011-С.4-14.
2. Макац В.Г., Макац Д.В., Макац Е.Ф., Макац Дм.В. Лекция-5 Биофизическая реальность прогноза вегетативных расстройств. Ошибки традиционной китайской иглотерапии // Медиздат, РФ, Рефлексотерапевт № 11/2011-С.3-18.
3. Макац В.Г., Макац Д.В., Макац Е.Ф., Макац Дм.В. Лекция-6 Современные проблемы диагностики вегетативного гомеостаза. Принципиальная оригинальность нового функционального направления (часть 1) // Медиздат, РФ, Рефлексотерапевт №12/2011-С.3-21.
4. Makats V., Makats D., Makats D., Makats E. Unknown Chinese acupuncture (reality, errors, problems). Vol. I – Vinnytsia: "Naukova Initsiatyva", Editorial office "Nilan Ltd.", 2016. – 276 ISBN 978-966-2932-80-5
5. Makats V., Makats D., Makats D., Makats E. Unknown Chinese acupuncture (biophysical atlas of systemic dependency). Vol.II – Vinnytsia: "Naukova Initsiatyva", Editorial office "Nilan Ltd.", 2016. – 214p. ISBN 978-966-2932-80-5